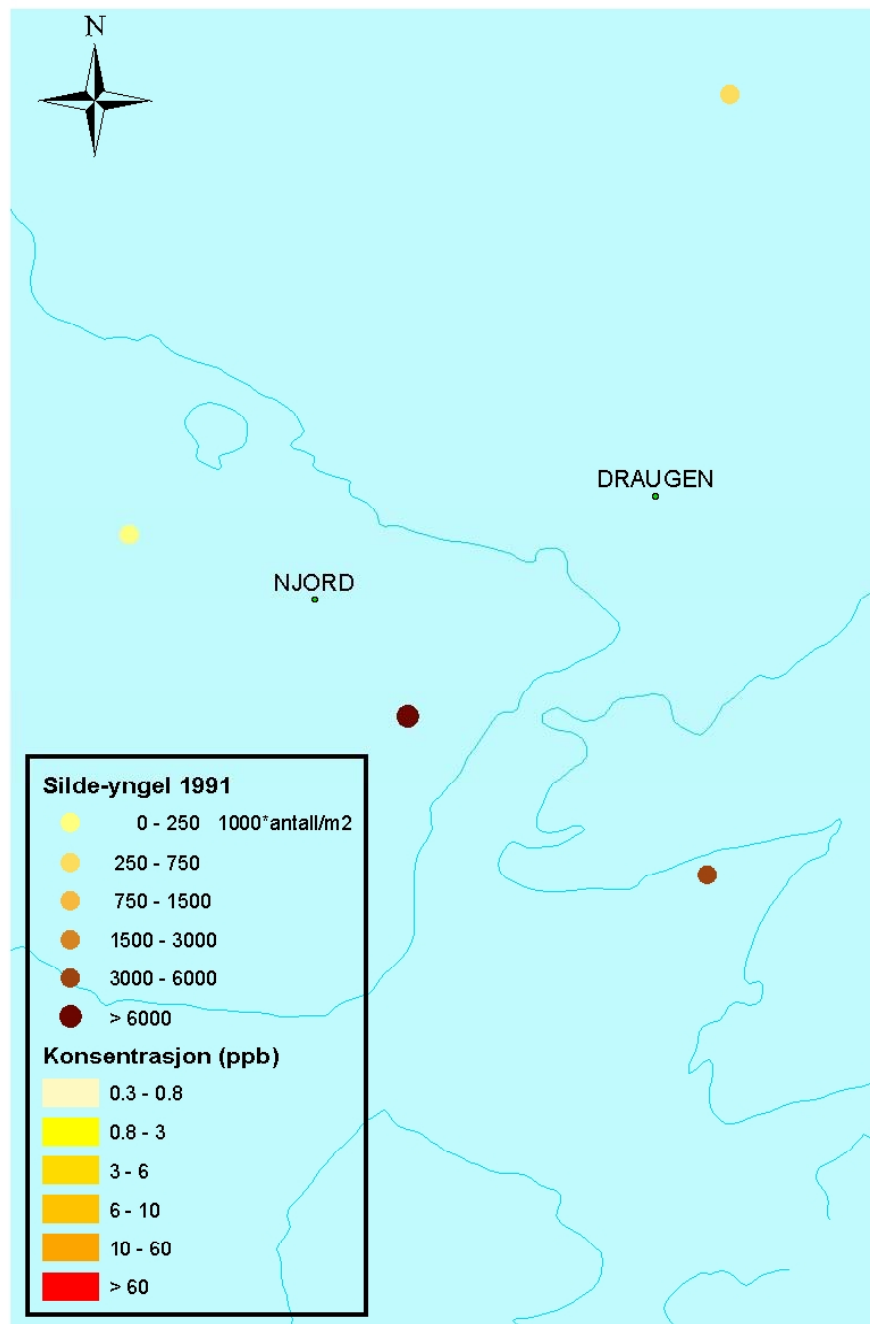


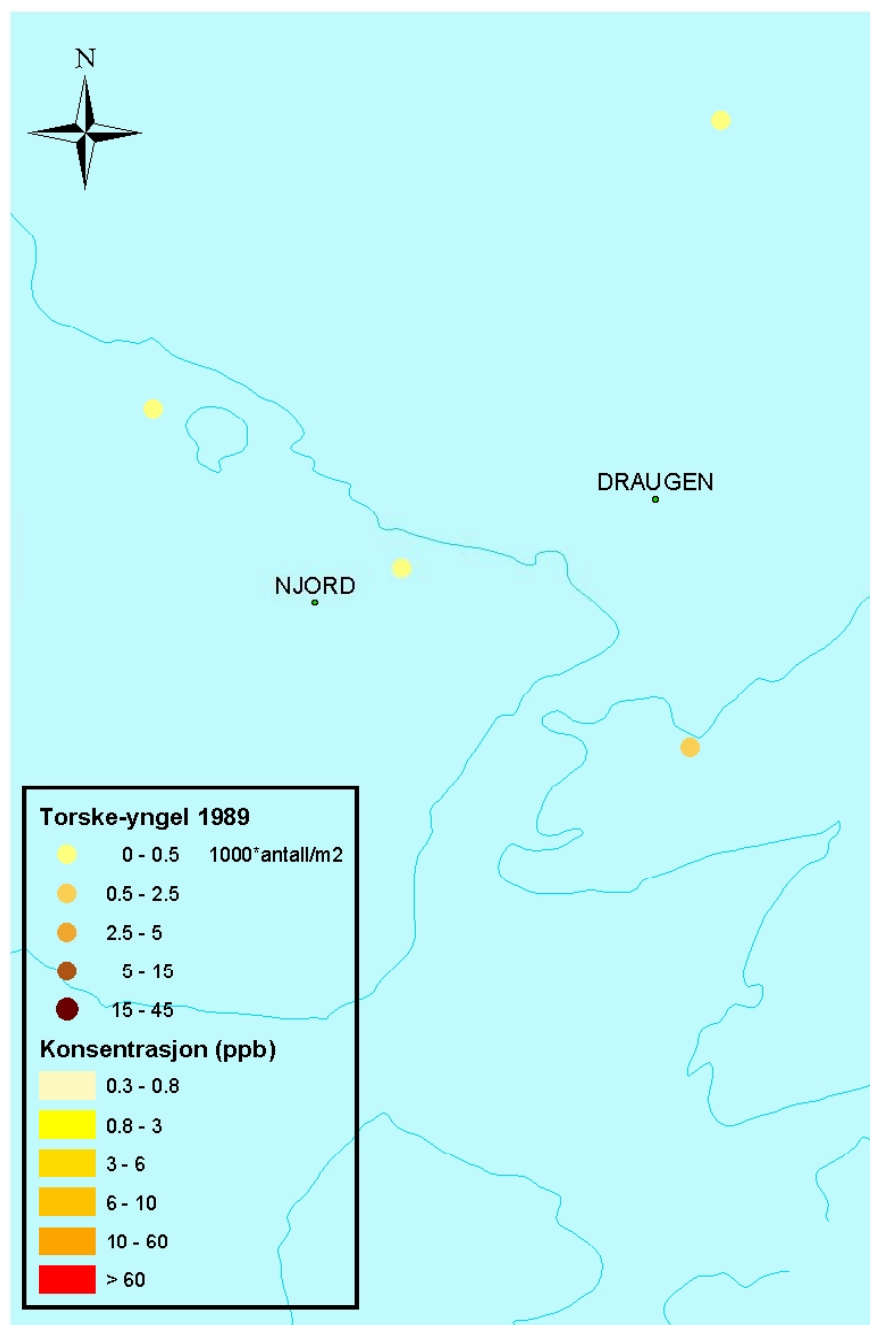
## **APPENDIKS F**

# **KART SOM VISER "OVERLAPP" MELLOM FISKE- RESSURSER OG KONSENTRASJONSFELT FOR PRODUSERT VANN KOMPONENTER FOR UTVALGTE SCENARIER**

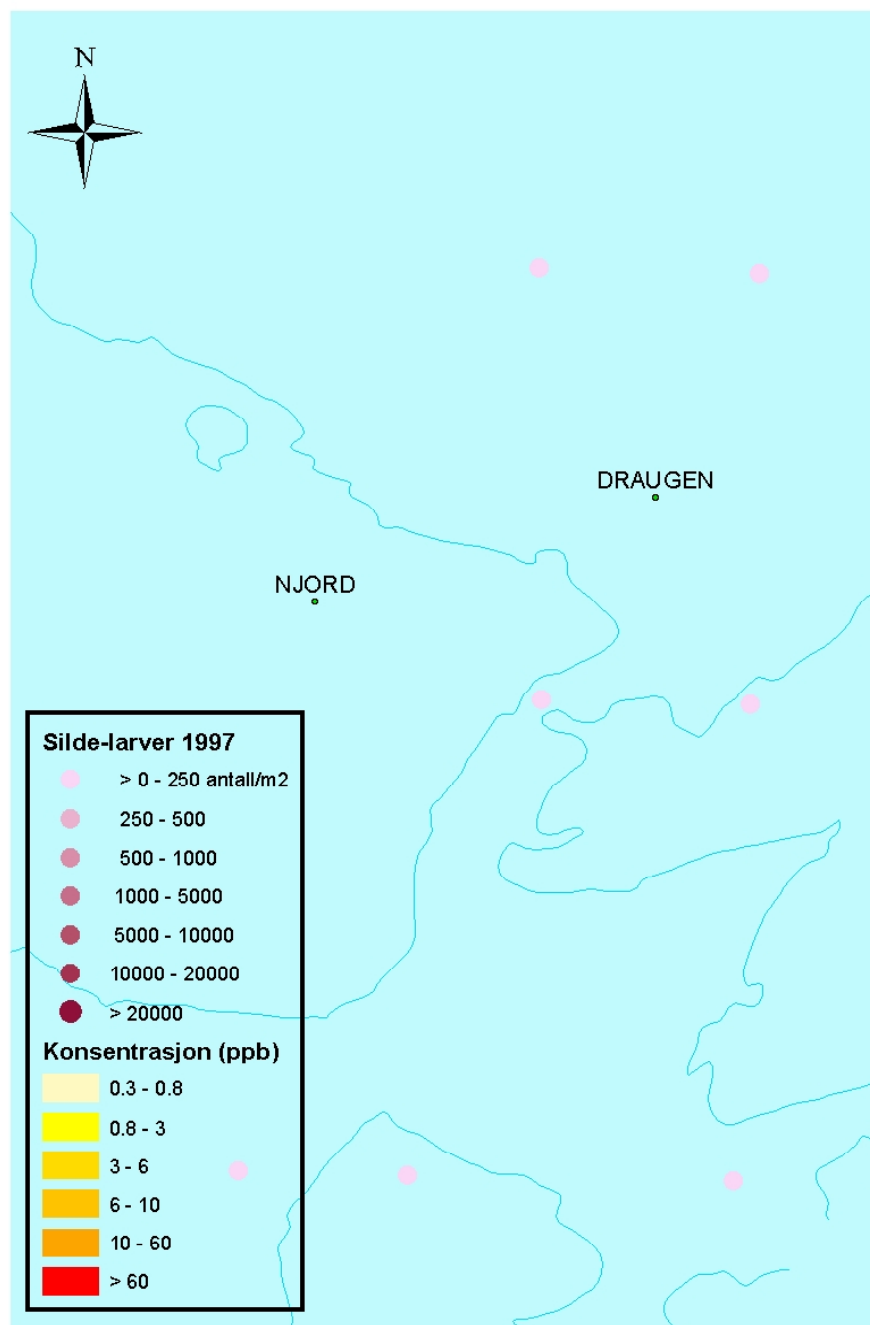




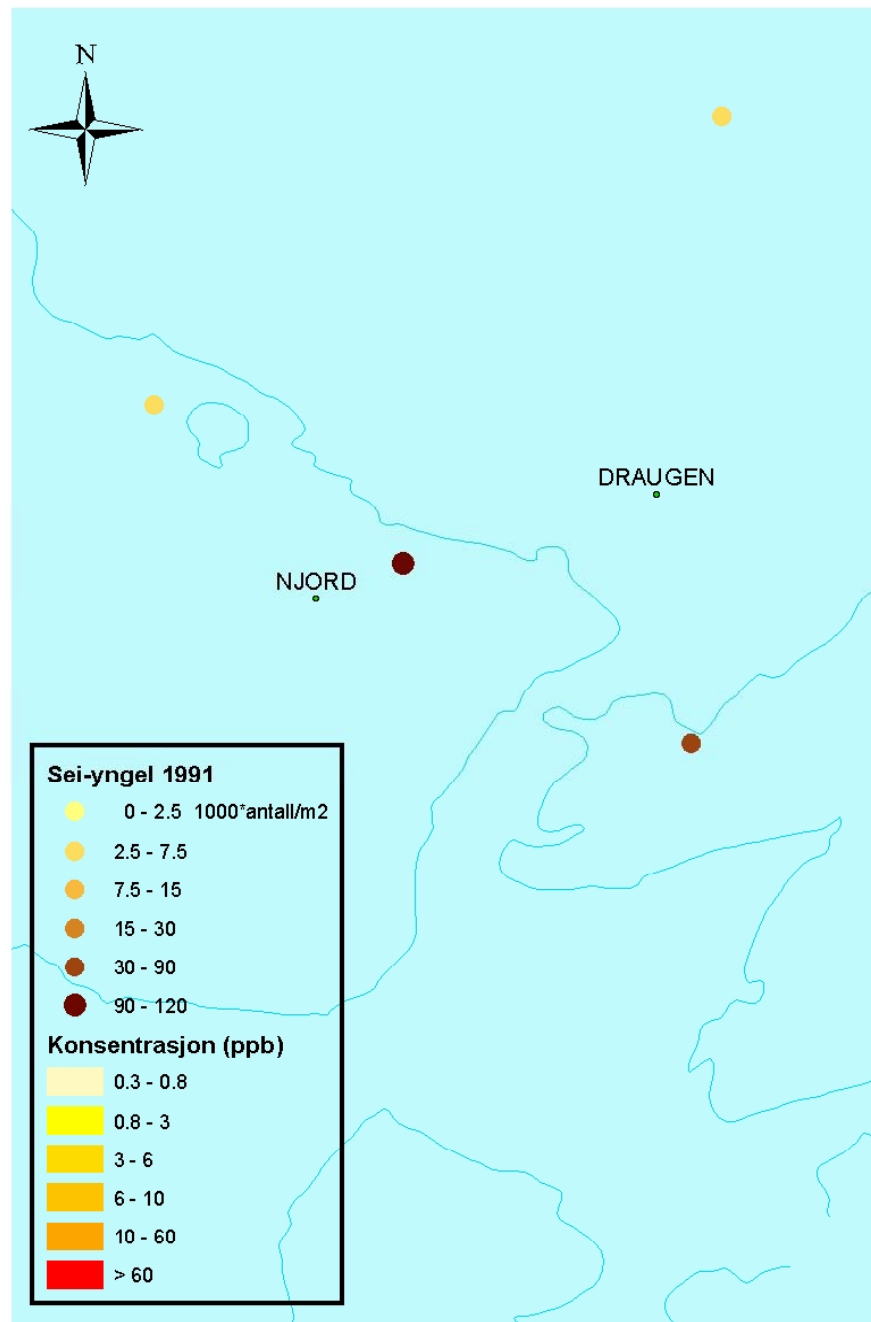
Figur F-1. Kart som viser overlapp mellom konsentrasjon av C4-C5 alkylfenoler ned til nedre effektgrense ( $PNEC = 0.36 \mu\text{g/l}$ ) fra utslipp av produsert vann i år 2001 og forekomster av silde-yngel (1991) i delområde 2 (Njord og Draugen). Tettheten (individer pr.  $\text{m}^2$ ) angis dividert med 1000.



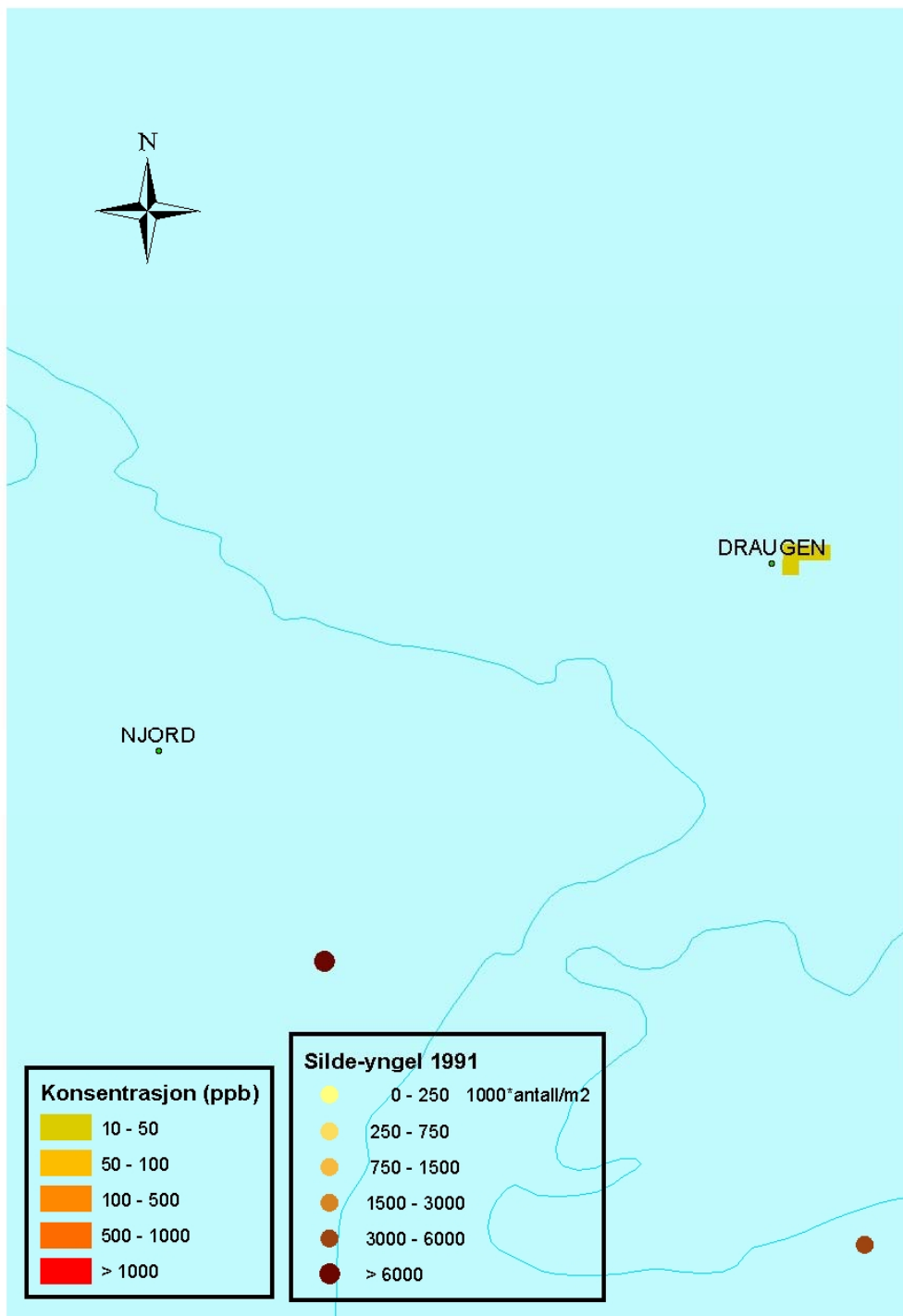
Figur F-2. Kart som viser overlapp mellom konsentrasjon av C4-C5 alkylfenoler ned til nedre effektgrense (PNEC= 0.36 µg/l) fra utslipp av produsert vann i år 2001 og forekomster av torske-yngel (1989) i delområde 2 (Njord og Draugen). Tettheten (individer pr. m<sup>2</sup>) angis dividert med 1000.



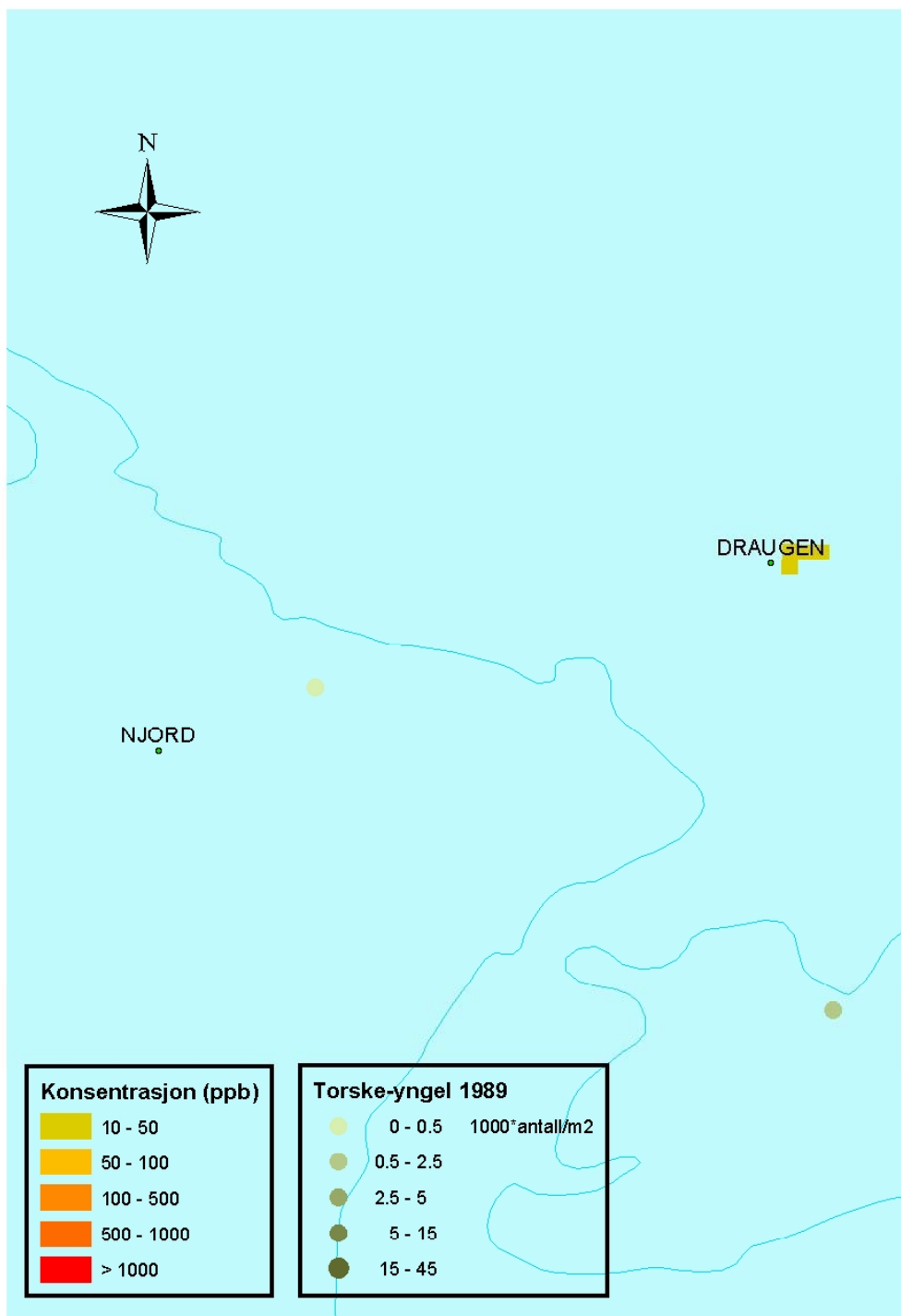
Figur F-3. Kart som viser overlapp mellom konsentrasjon av C4-C5 alkylfenoler ned til nedre effektgrense ( $PNEC = 0.36 \mu\text{g/l}$ ) fra utslipp av produsert vann i år 2001 og forekomster av side-larver (1997) i delområde 2 (Njord og Draugen). Tettheten (individer pr.  $\text{m}^2$ ) angis dividert med 1000.



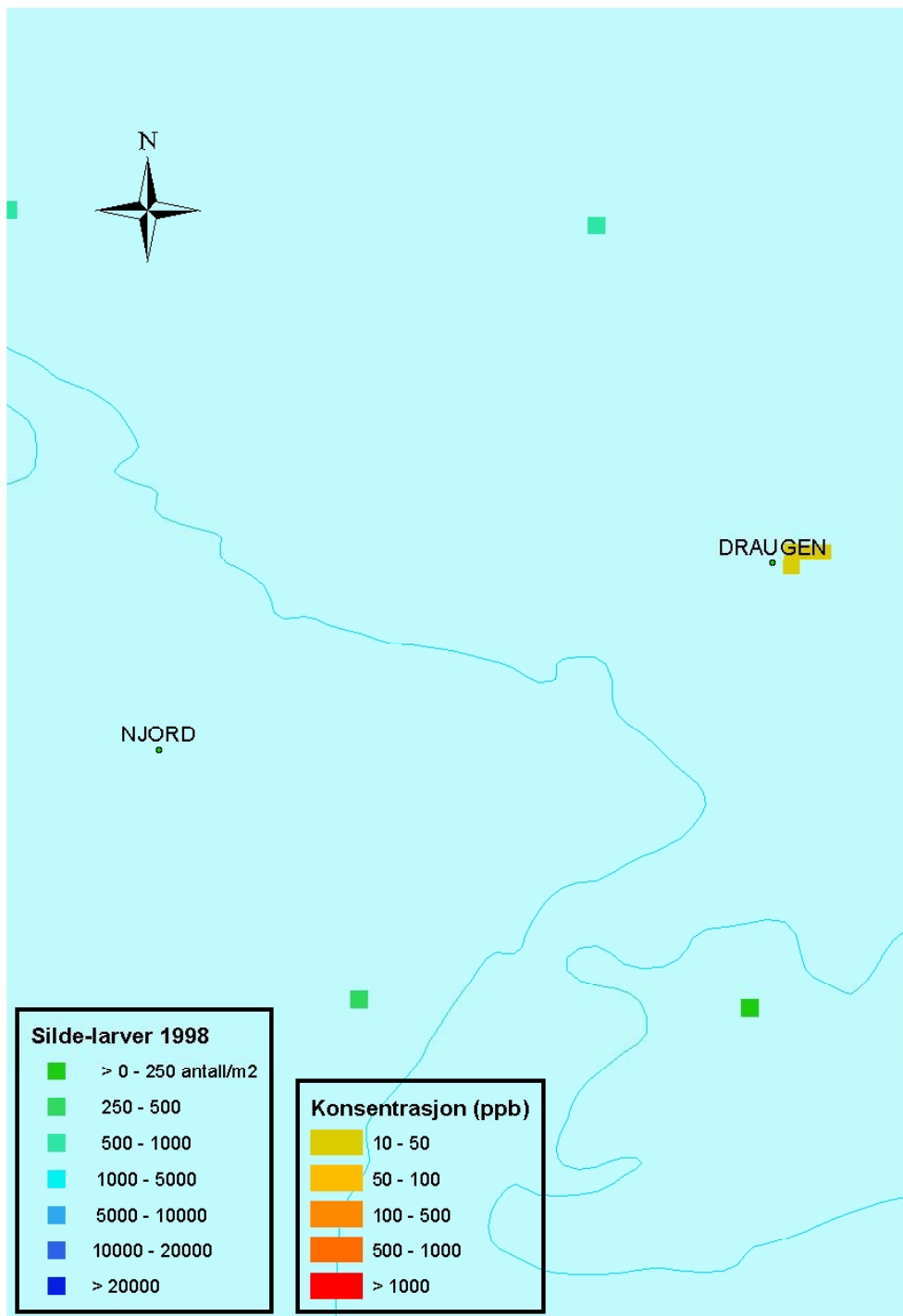
Figur F-4. Kart som viser overlapp mellom konsentrasjon av C4-C5 alkylfenoler ned til nedre effektgrense ( $PNEC = 0.36 \mu\text{g/l}$ ) fra utslipp av produsert vann i år 2001 og forekomster av sei-yngel (1991) i delområde 2 (Njord og Draugen). Tettheten (individer pr.  $\text{m}^2$ ) angis dividert med 1000.



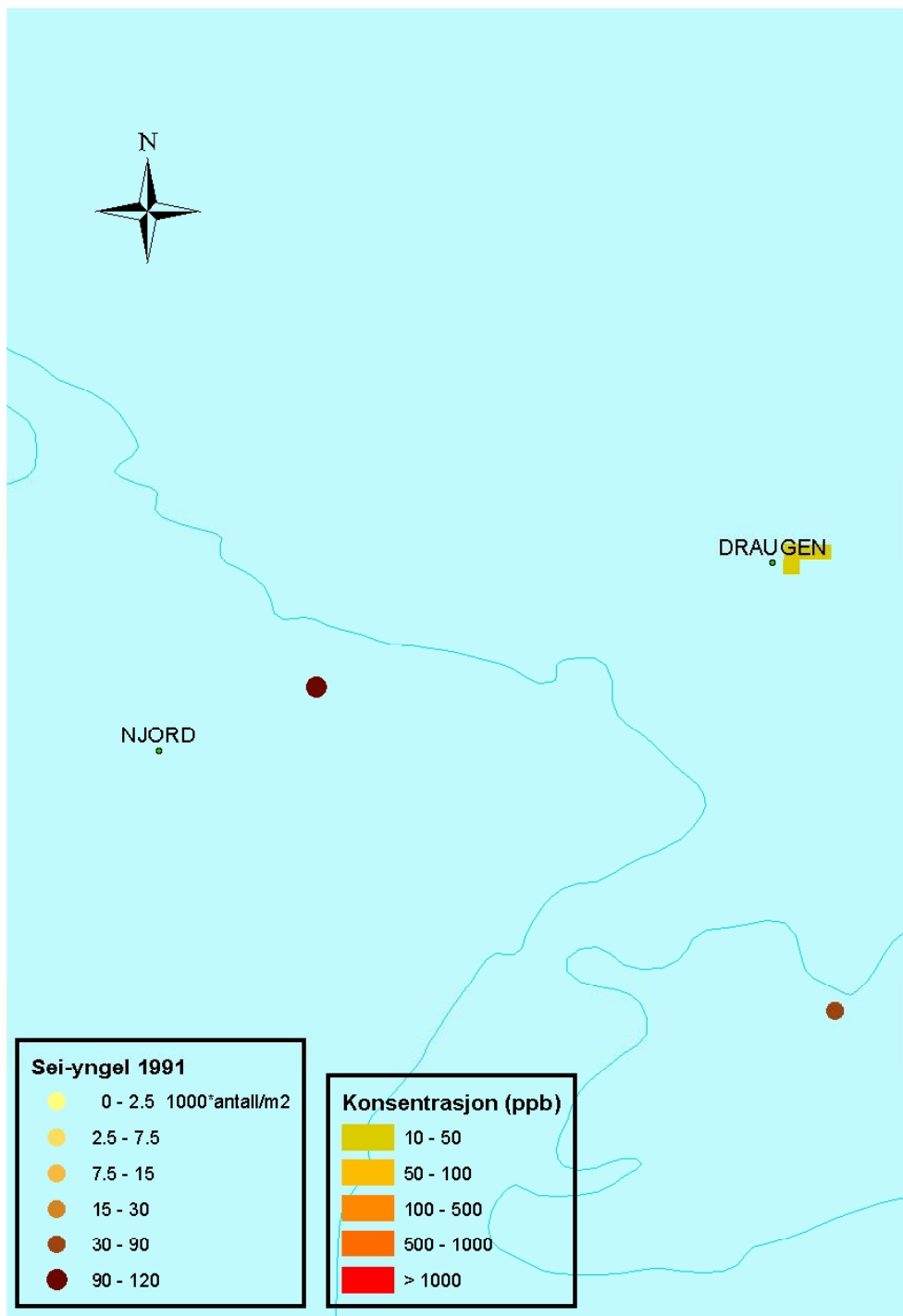
Figur F-5. Kart som viser overlapp mellom konsentrasjon av dispergert olje ned til nedre effektgrense (PNEC= 40.4 µg/l) fra utslipp av produsert vann i år 2013 og forekomster av silde-yngel (1991) i delområde 2 (Njord og Draugen). Tettheten (individer pr. m<sup>2</sup>) angis dividert med 1000.



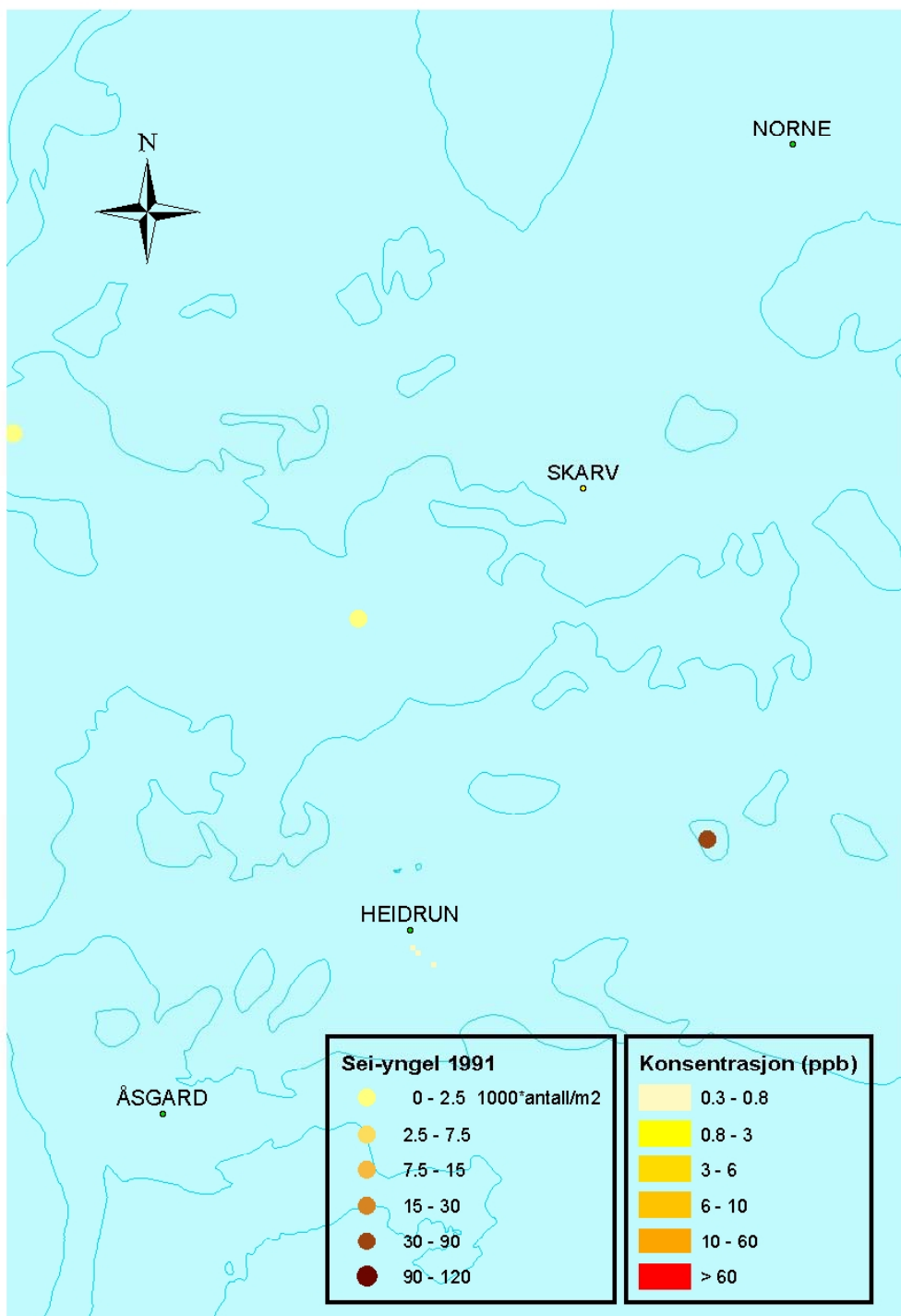
Figur F-6. Kart som viser overlapp mellom konsentrasjon av dispergert olje ned til nedre effektgrense ( $PNEC = 40.4 \mu\text{g/l}$ ) fra utslipp av produsert vann i år 2013 og forekomster av torske-yngel (1989) i delområde 2 (Njord og Draugen). Tettheten (individer pr.  $\text{m}^2$ ) angis dividert med 1000.



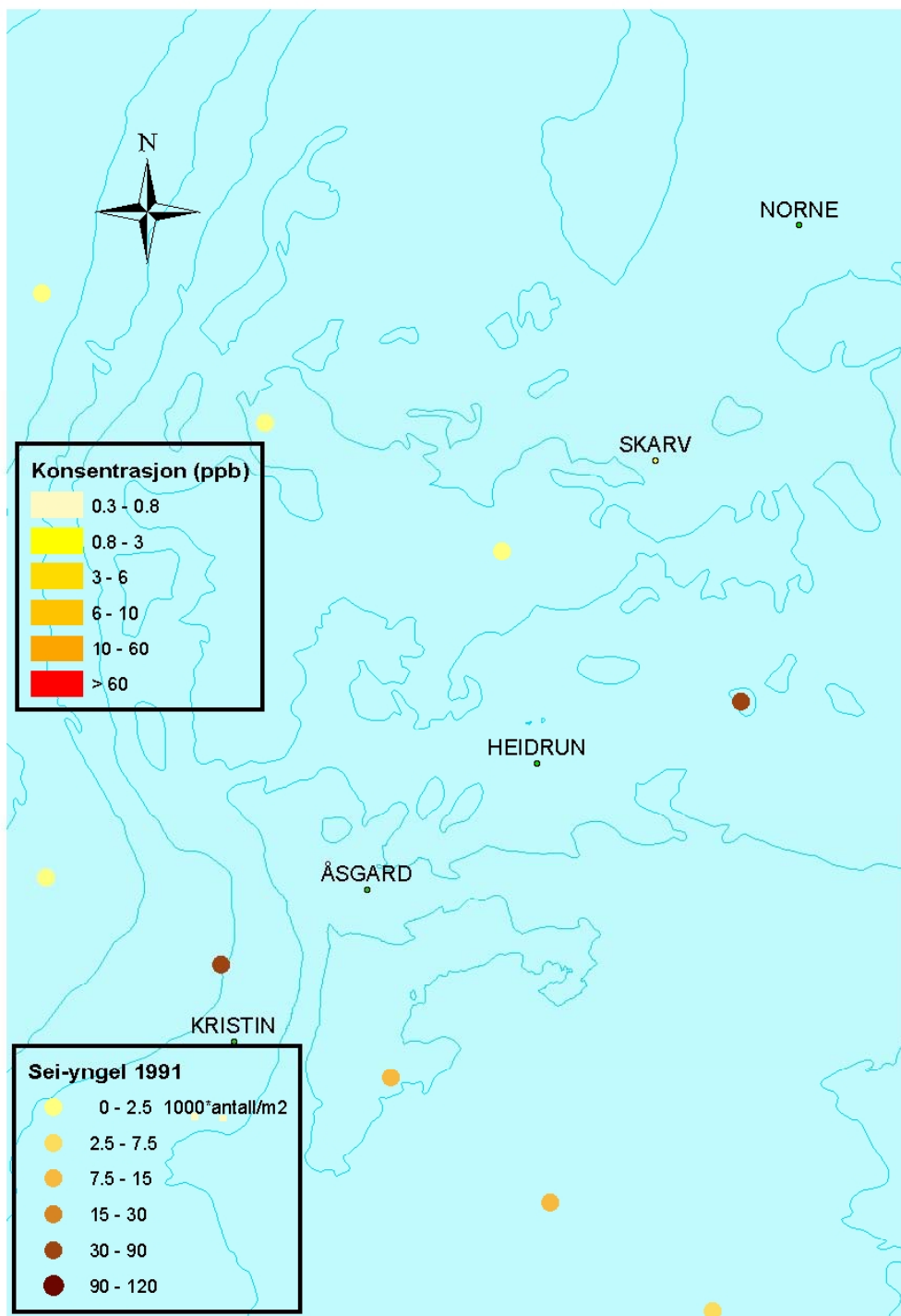
Figur F-7. Kart som viser overlapp mellom konsentrasjon av dispergert olje ned til nedre effektgrense ( $PNEC = 40.4 \mu\text{g/l}$ ) fra utslipp av produsert vann i år 2013 og forekomster av silde-larver (1998) i delområde 2 (Njord og Draugen). Tettheten (individer pr.  $\text{m}^2$ ) angis dividert med 1000.



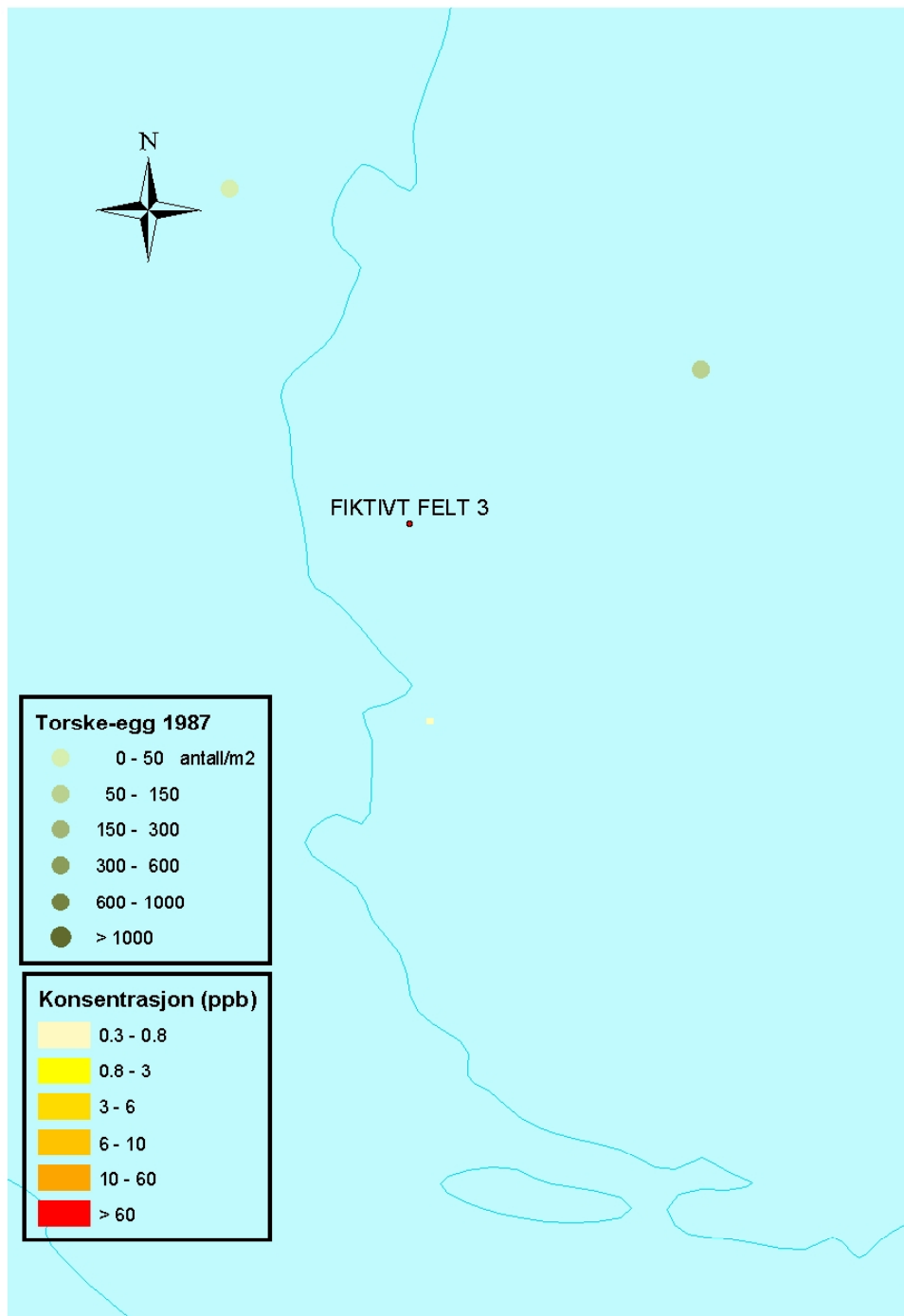
Figur F-8. Kart som viser overlapp mellom konsentrasjon av dispergert olje ned til nedre effektgrense ( $PNEC = 40.4 \mu\text{g/l}$ ) fra utslipp av produsert vann i år 2013 og forekomster av sei-yngel (1991) i delområde 2 (Njord og Draugen). Tettheten (individer pr.  $\text{m}^2$ ) angis dividert med 1000.



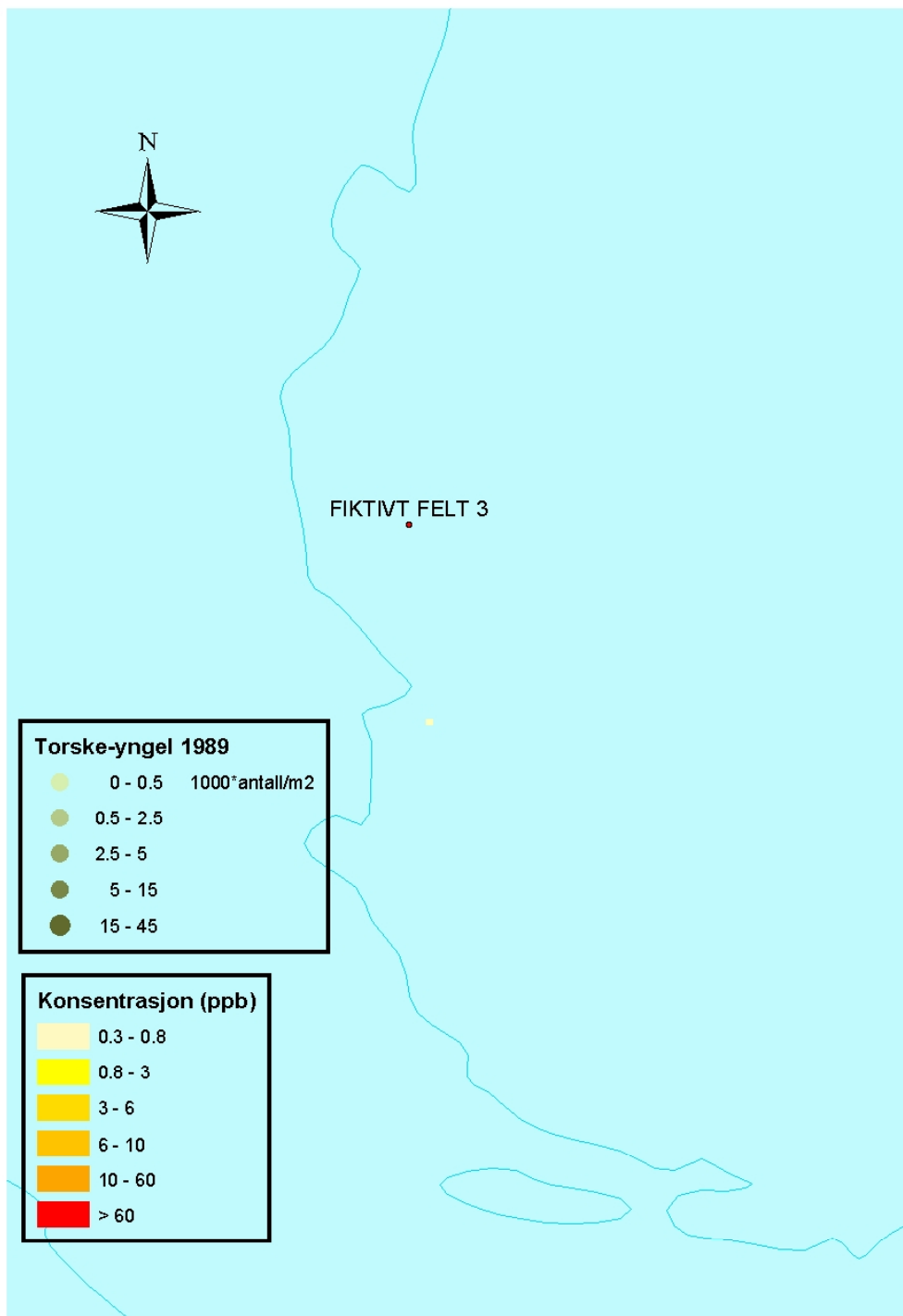
Figur F-9. Kart som viser overlapp mellom konsentrasjon av korrosjonshemmer ned til nedre effektgrense ( $PNEC = 0.3 \mu\text{g/l}$ ) fra utslipp av produsert vann i år 2001 og forekomster av sei-yngel (1991) i delområde 1 (Åsgard A, Åsgard B og Heidrun). Tettheten (individer pr.  $\text{m}^2$ ) angis dividert med 1000.



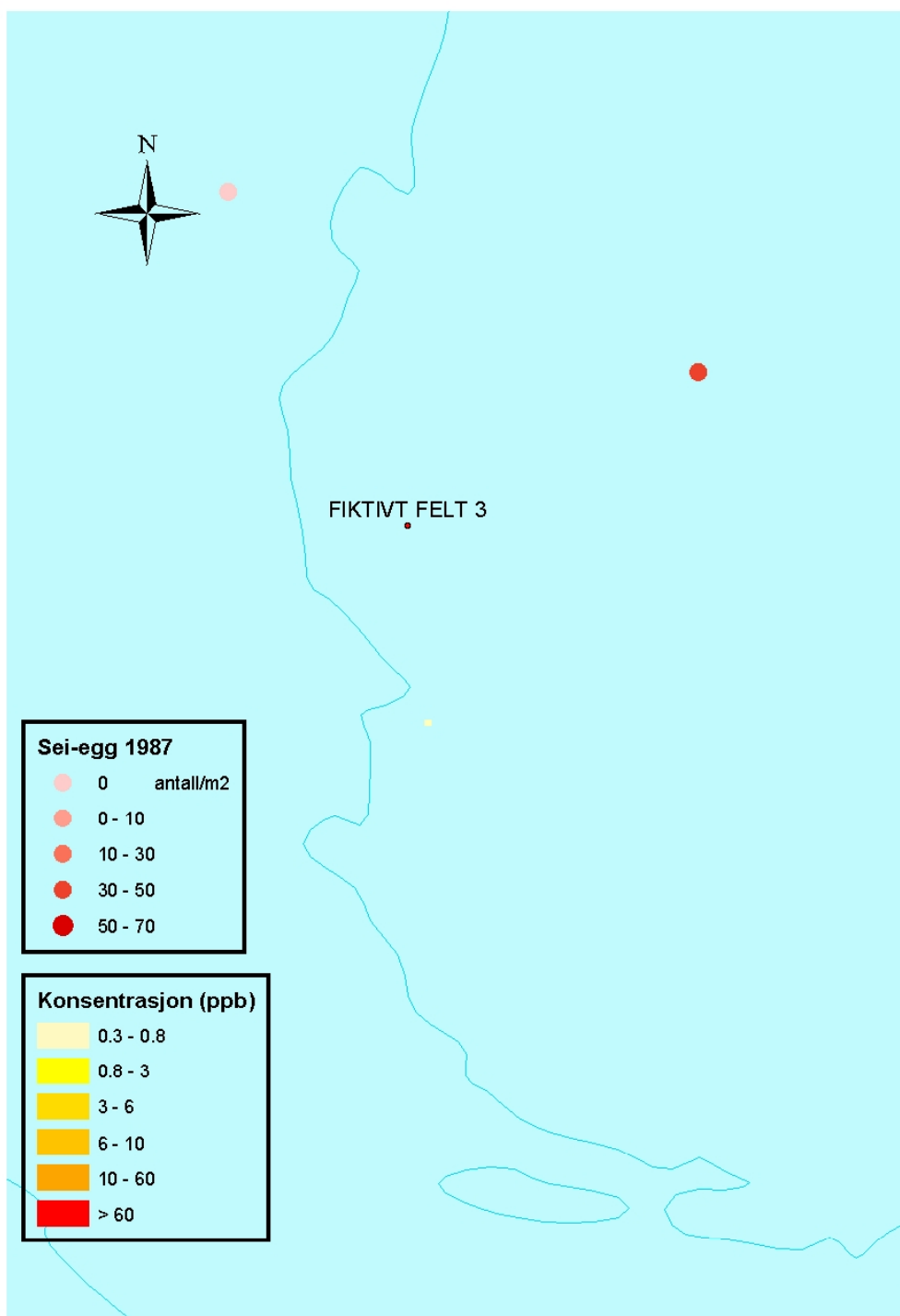
Figur F-10. Kart som viser overlapp mellom konsentrasjon av korrosjonshemmer ned til nedre effektgrense ( $PNEC = 0.3 \mu\text{g/l}$ ) fra utlipp av produsert vann i år 2013 og forekomster av sei-yngel (1991) i delområde 1 (Åsgard A, Åsgard B, Heidrun, Kristin og Norne). Tettheten (individer pr.  $\text{m}^2$ ) angis dividert med 1000.



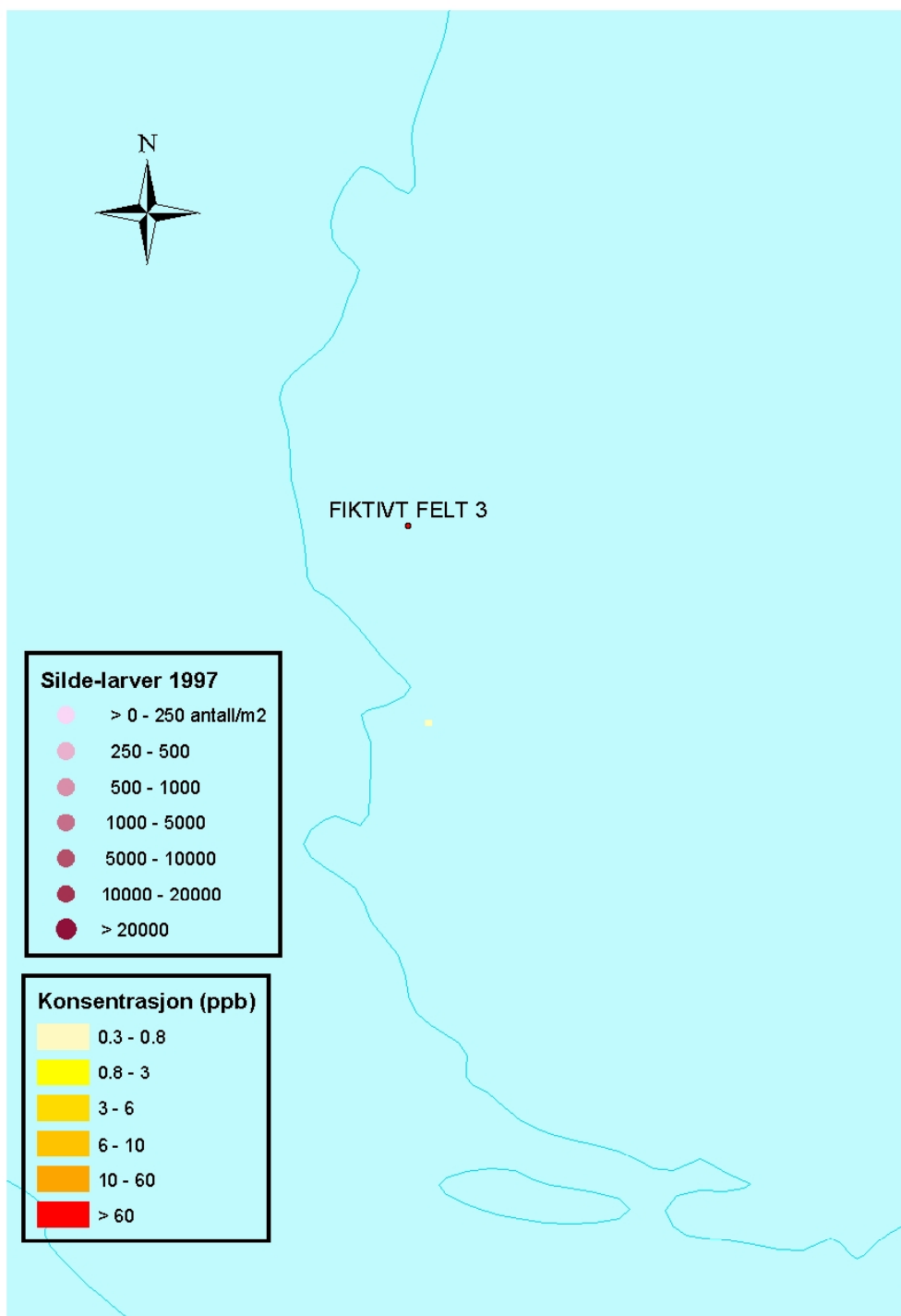
Figur F-11. Kart som viser overlapp mellom konsentrasjon av korrosjonshemmer ned til nedre effektgrense (PNEC= 0.3 µg/l) fra utslipp av produsert vann i år 2013 og forekomster av torske-egg (1987) i delområde 6 (Nordland 6 – FF3). Tettheten (individer pr. m<sup>2</sup>) angis dividert med 1000.



Figur F-12. Kart som viser overlapp mellom konsentrasjon av korrosjonshemmer ned til nedre effektgrense ( $PNEC = 0.3 \mu\text{g/l}$ ) fra utslipp av produsert vann i år 2013 og forekomster av torske-egg (1989) i delområde 6 (Nordland 6 – FF3). Tettheten (individer pr.  $\text{m}^2$ ) angis dividert med 1000.



Figur F-13. Kart som viser overlapp mellom konsentrasjon av korrosjonshemmer ned til nedre effektgrense ( $PNEC = 0.3 \mu\text{g/l}$ ) fra utlipp av produsert vann i år 2013 og forekomster av sei-egg (1987) i delområde 6 (Nordland 6 – FF3). Tettheten (individer pr.  $\text{m}^2$ ) angis dividert med 1000.



Figur F-14. Kart som viser overlapp mellom konsentrasjon av korrosjonshemmer ned til nedre effektgrense (PNEC= 0.3 µg/l) fra utslipp av produsert vann i år 2013 og forekomster av silde-larver (1997) i delområde 6 (Nordland 6 – FF3). Tettheten (individer pr. m<sup>2</sup>) angis dividert med 1000.